

Источник: Научно-технический журнал: «Горный информационно-аналитический бюллетень».– Изд-во Горная книга – 2009, Выпуск 2, с. 300-304.

---

© С.Н. Решетняк, 2009

УДК 62-523:622.673

**С.Н. Решетняк**

**МАТЕМАТИЧЕСКОЕ МОДЕЛИРОВАНИЕ  
ТРЕХМАССОВОЙ ЭМС ПОДЪЕМНОЙ УСТАНОВКИ  
ПРИ ПАРАЛЛЕЛЬНОЙ КОРРЕКЦИИ КООРДИНАТ**

**Семинар № 20**

---

**П**одъемная установка представляет собой сложную электромеханическую систему, масса которой распределена определенным образом в ее элементах, а звенья связей между элементами обладают упругими и диссипативными свойствами. Подъемную установку со шкивами трения можно представить как трехмассовую систему, где первая масса представлена электроприводом, вторая масса представлена груженым подъемным сосудом, а третья масса представлена порожним подъемным сосудом.

При изменениях нагрузки, массы имеют возможность взаимного перемещения, которое при данном приращении нагрузки определяются жесткостью упругой связи. К механическим упругим связям многомассовых систем электропривода подъемных установок следует отнести канаты. Упругая деформация канатов и сопутствующие колебания являются крайне негативными особенностями работы подъемной установки. Увеличение надежности и долговечности упругих элементов может быть достигнуто снижением динамических нагрузок путем демпфирования колебательных процессов.

Математическое описание трехмассовой ЭМС подъемной установки, с учетом изменения длины канатов в процессе перемещения подъемных сосудов представлено системой уравнений:

$$\begin{aligned} M - (M_{21} - M_{13}) &= J_1 p \omega_1; \\ M_{21} - M_{c2} &= J_2 p \omega_2; \\ -M_{13} + M_{c3} &= J_3 p \omega_3; \\ pM_{21} &= C_{21} (\omega_1 - \omega_2); \\ pM_{13} &= C_{13} (\omega_3 - \omega_1), \end{aligned} \tag{1}$$

где  $M$  – момент приводного двигателя;  $M_{c2}$  – приведенный статический момент груженного подъемного сосуда;  $M_{c3}$  – приведенный статический момент порожнего подъемного сосуда;  $M_{21}$  – приведенный упругий момент между двигателем и груженным подъемным сосудом;  $M_{13}$  – приведенный упругий момент между двигателем и порожним подъемным сосудом;  $J_1$  – приведенный момент инерции первой массы, включая момент инерции двигателя, редуктора, органа навивки, направляющих шкивов;  $J_2$  – приведенный момент инерции второй массы – груженого подъемного сосуда;  $J_3$  – приведенный момент инерции третьей массы – порожнего подъемного сосуда;  $\omega_1$  – угловая скорость вращения двигателя;  $\omega_2$  – приведенная к угловой скорости двигателя скорость груженно-

го подъемного сосуда;  $\omega_3$  – приведенная к угловой скорости двигателя скорость порожнего подъемного сосуда;  $C_{21}$  – приведенный коэффициент жесткости каната между органом навивки и груженым подъемным сосудом;  $C_{13}$  – приведенный коэффициент жесткости каната между органом навивки и порожним подъемным сосудом.

Решая данную систему уравнений относительно  $M, M_{c2}, M_{c3}$  имеется возможность для математического исследования влияния различных обратных связей на процесс демпфирования колебаний канатов в подъемной установки.

Анализ проведенный в данном направлении, позволяют сделать следующие заключение: все исследования в этой области были проведены на моделях с последовательной коррекцией координат. Исследования систем с параллельной коррекцией координат не проводились. В результате чего была предложена система с параллельной коррекцией координат, функциональная схема которой представлена на рис. 1.

В соответствии с функциональной схемой представленной на рис. 1 и системы уравнений (1) была составлена структурная схема, представленная на рис. 2, в которой имеется определенный набор жестких и гибких отрицательных обратных связей. Параметры этих обратных связей входят в состав уравнений (1) для значения электромагнитного момента

$$M = \frac{C_e k_a}{1 + pT_a} \left\{ k_n k_y \left[ U_3 - k_{ot} (1 + pT_{ot}) i_a - k_{oc} (1 + pT_{oc}) \omega_1 - \frac{1}{C_e} k_{oh} (1 + pT_{oh}) \times \right. \right. \\ \left. \left. \times (M_{21} - M_{13}) \right] - C_e \omega_1 \right\},$$

где  $C_e$  - коэффициент передачи звена внутренней обратной связи по ЭДС двигателя;  $k_a$  - статический коэффициент якорной обмотки двигателя;  $T_a$  - электромагнитная постоянная времени силовой цепи;  $k_n$  - статический коэффициент передачи преобразовательного устройства;  $k_y$  - статический коэффициент передачи суммирующего усилителя;  $U_3$  - напряжение задания;  $k_{ot}$  - статический коэффициент передачи обратной связи по току;  $T_{ot}$  - постоянная времени гибкой обратной связи по току;  $k_{oc}$  - статический коэффициент передачи обратной связи по скорости;  $T_{oc}$  - постоянная времени гибкой обратной связи по скорости;  $k_{oh}$  - статический коэффициент передачи обратной связи по упругому моменту;  $T_{oh}$  - постоянная времени гибкой обратной связи по упругому моменту.

Результатами математических преобразований была получена система уравнений трехмассовой ЭМС с параллельной коррекцией координат.

$$C_e k_a k_n k_y p U_3 = \left( J_1 (1 + pT_a) p^2 + C_{21} (1 + pT_a) + C_{13} (1 + pT_a) + \right. \\ \left. + C_e k_a k_n k_y k_{oc} (1 + pT_{oc}) p + C_e^2 k_a p + C_{21} k_a k_n k_y k_{oh} + \right. \\ \left. + C_{13} k_a k_n k_y k_{oh} + C_{21} k_a k_n k_y k_{oh} T_{oh} p + C_{13} k_a k_n k_y k_{oh} T_{oh} p + \right. \\ \left. + k_a k_n k_y k_{ot} J_1 p^2 + C_{21} k_a k_n k_y k_{ot} + C_{13} k_a k_n k_y k_{ot} + \right. \\ \left. + k_a k_n k_y k_{ot} T_{ot} J_1 p^3 + C_{21} k_a k_n k_y k_{ot} T_{ot} p + C_{13} k_a k_n k_y k_{ot} T_{ot} p \right) \omega_1 -$$

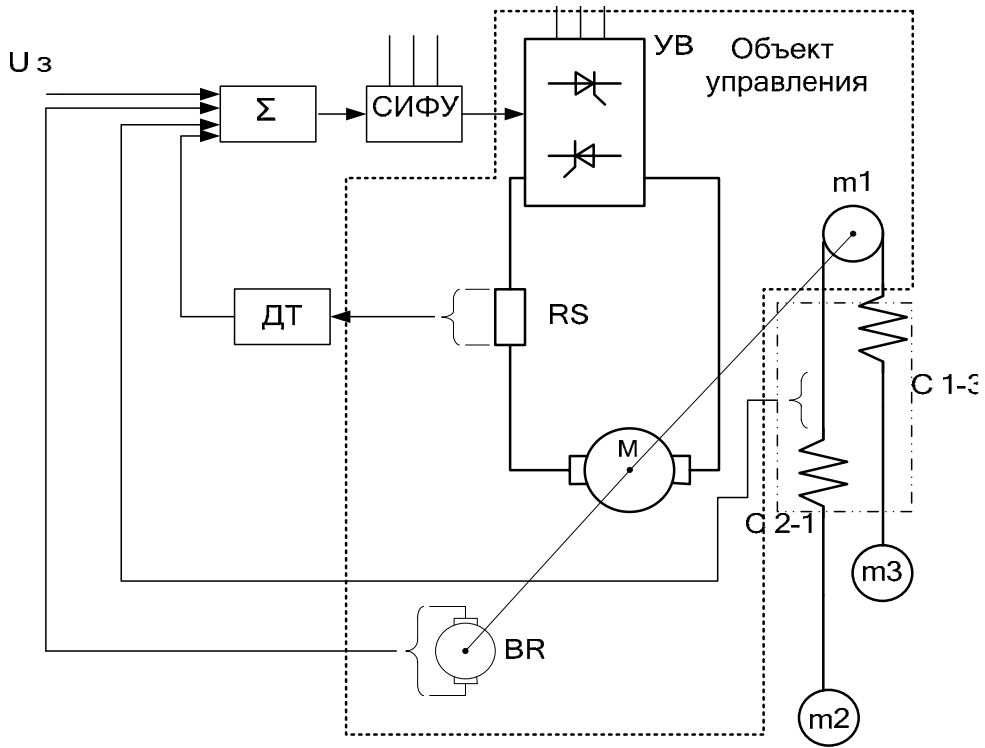
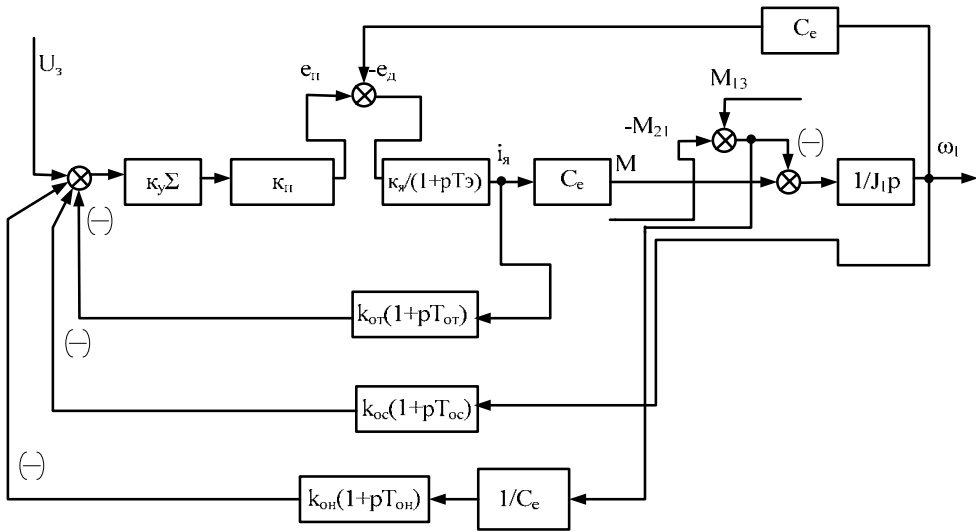


Рис. 1. Функциональная схема трехмассовой ЭМС подъемной установки с параллельной коррекцией координат

$$\begin{aligned}
 & -C_{21}((1+pT_a) + k_x k_n k_y k_{oh} + k_x k_n k_y k_{oh} T_{oh} p + k_x k_n k_y k_{ot} + k_x k_n k_y k_{ot} T_{ot} p) \omega_2 - \\
 & -C_{13}((1+pT_a) + k_x k_n k_y k_{oh} + k_x k_n k_y k_{oh} T_{oh} p + k_x k_n k_y k_{ot} + k_x k_n k_y k_{ot} T_{ot} p) \omega_3; \\
 & pM_{c2} = C_{21}\omega_1 + (-J_2 p^2 - C_{21})\omega_2; \\
 & pM_{c3} = -C_{13}\omega_1 + (J_3 p^2 + C_{13})\omega_3.
 \end{aligned}$$

Далее происходит исследование системы методом нормированных передаточных функций.

$$\begin{aligned}
 & \frac{K_2 K_3}{\gamma n} \tau_m \tau_1^4 + \frac{K_2 K_3}{\gamma n} \tau_C \tau_m \tau_1^4 = \tau^6; \\
 & \frac{K_2 K_3}{\gamma n} (1 + \lambda_2) \tau_m \tau_1^4 + \frac{K_2 K_3}{n} \tau_C \tau_1^4 = 6\xi \tau^5; \\
 & \frac{K_2 K_3}{n} (1 + \lambda_1) \tau_1^4 + \left( \frac{K_2 K_3 (1 + n) + K_2 n + K_3}{\gamma n} \right) (1 + \tau_T) \tau_m \tau_1^2 + \left( \frac{K_2 K_3 (1 + n)}{\gamma n} \right) \tau_H \tau_m \tau_1^2 =; \\
 & = 3\tau^4 + 12\xi^2 \tau^4
 \end{aligned}$$



**Рис. 2. Структурная схема трехмассовой ЭМС подъемной установки с параллельной коррекцией координат**

$$\begin{aligned}
 & \left( \frac{\kappa_2 \kappa_3 (1+n) + \kappa_2 n + \kappa_3}{\gamma n} \right) (1 + \lambda_2) \tau_m \tau_1^2 + \lambda_3 \left( \frac{\kappa_2 \kappa_3 (1+n)}{\gamma n} \right) \tau_m \tau_1^2 + \left( \frac{\kappa_2 n + \kappa_3}{n} \right) \tau_C \tau_1^2 = ; \\
 & = 8\xi^3 \tau^3 + 12\xi \tau^3 \\
 & \left( \frac{n \kappa_2 + \kappa_3}{n} \right) (1 + \lambda_1) \tau_1^2 + \frac{1}{\gamma} (\kappa_2 + \kappa_3) \tau_H \tau_m + \tau_T \tau_m + \tau_m = 3\tau^2 + 12\xi^2 \tau^2 ; \\
 & \tau_m (1 + \lambda_2) + \frac{1}{\gamma} \lambda_3 (\kappa_2 + \kappa_3) \tau_m + \tau_C = 6\xi \tau ;
 \end{aligned}$$

где  $\lambda_1 = \frac{K_y K_{oc} K_n K_y}{K_m}$ ,  $\lambda_2 = k_n k_n k_y k_{ot}$ ,  $\lambda_3 = k_n k_n k_y k_{oh}$  - соответственно параметры жестких отрицательных обратных связей по скорости, току, упругому моменту;  $\tau_C = \frac{\lambda_1 T_{oc}}{T_g}$ ,  $\tau_T = \frac{\lambda_2 T_{ot}}{T_g}$ ,  $\tau_H = \frac{\lambda_3 T_{oh}}{T_g}$  - соответственно параметры гибких отрицательных обратных связей по скорости, току, упругому моменту;  $\tau = \frac{T}{T_g}$  - относительная постоянная времени системы;  $\tau_m = \frac{(J_1 + J_2 + J_3)}{T_g k_m C_e}$  относительная электромеханическая постоянная времени системы;  $\tau_1^2 = \frac{J_1}{T_g C_{21}}$  относительная фиктивная постоянная времени частот собственных колебаний якоря двигате-

ля при неподвижном исполнительном органе;  $\gamma = \frac{J_1 + J_2 + J_3}{J_1}$  - относительный момент инерции;  $\xi$  – коэффициент затухания;  $k_2 = \frac{J_2}{J_1}$ ,  $k_3 = \frac{J_3}{J_1}$  - относительные моменты инерции второй и третьей массы;  $n = \frac{C_{13}}{C_{21}}$  - относительный коэффициент жесткости.

Решение системы алгебраических уравнений позволяют выявление отдельно взятых обратных связей на демпфирующие свойства электромеханической системы подъемной установки.

---

#### СПИСОК ЛИТЕРАТУРЫ

1. Ключев В.И. Ограничение динамических нагрузок электропривода. – М.: Изд-во Энергия, 1971 – 320 с.: ил.
2. Ляхомский А.В., Фашиленко В.Н. Управление электромеханическими системами горных машин. – М.: Издательство МГГУ, 2004 – 296с.
3. Фашиленко В.Н. Структурный анализ и синтез рационального управления электромеханическими системами горных машин (Докторская диссертация) М.: 2004 – 512 с.
4. Мартынов М.В., Переслегин Н.Г. Автоматизированный электропривод в горной промышленности. Изд. 2, перераб. и доп. – М.: Недра, 1977. – 375 с. ГИАБ

---

#### *Коротко об авторе*

Решетняк С.Н. – старший преподаватель кафедры «Электрификация и энергоэффективность горных предприятий» Московского государственного горного университета.

Доклад рекомендован к опубликованию семинаром № 20 симпозиума «Неделя горняка-2008». Рецензент д-р техн. наук, проф. А.В. Ляхомский.




---

#### РУКОПИСИ,

#### **ДЕПОНИРОВАННЫЕ В ИЗДАТЕЛЬСТВЕ МОСКОВСКОГО ГОСУДАРСТВЕННОГО ГОРНОГО УНИВЕРСИТЕТА**

3. Сергеенков Н.А. Съемка подземных существующих коммуникаций. Подготовительные работы и методика (677/02-09 — 15.12.08) 5 с.
4. Сергеенков Н.А. Общие положения о подземных коммуникациях (678/02-09 — 15.12.08) 3 с.